

BEPC 电子直线加速器束流线改进和 e, π 试验束*

李家才^{1,1)} 吴元明¹ 崔象宗¹ 张良生¹ 周宝庆¹ 刘正全¹
张少平¹ 刘士兴² 孙长春¹ 沈激² 阴泽杰² 张永明²
陈子瑜² 张竹湘¹ 张彩娣¹ 郑林生¹

1(中国科学院高能物理研究所 北京 100049)

2(中国科学技术大学近代物理系 合肥 230027)

摘要 在 BEPC 电子直线加速器上建立起了 E1, E2, E3 试验束, 其中 E1 初级束专门提供给强流慢正电子装置应用, E2 束是初级正/负电子束, E3 为次级高能 e^{\pm}, π^{\pm} 和质子等单粒子试验束, 其动量连续可调. 粒子定位误差 0.2—0.4mm, 混合负粒子计数率 3—4Hz. 已成功地为 BES III 的 TOF 探测器模型测试提供试验束流.

关键词 试验束 刻度 单粒子

1 引言

世界各主要高能物理实验室, 在 高能加速器上都建有若干条试验束(试验束流), 用于检验探测器模型或研究其性能, 检验加速器部件或试验束流输运方法等. 试验束的建造, 是对加速器束流资源的充分利用, 同时也促进了加速器应用水平和运行效率的提高. 其应用向各实验室开放, 以提高试验束的利用率. 20 世纪 80 年代, 中科院高能所建造 BEPC/BES (北京正负电子对撞机/北京谱仪), 当时国内没有合适的试验束, BES 上一些子探测器模型的束流试验要利用日本 KEK (高能加速器研究组织) 的试验束来做^[1,2]. BES 即将升级为 BES III, 急需试验束对其子探测器模型做试验. BEPC 及其电子直线加速器 (LINAC) 的长期稳定运行也提供了有利条件. 为此, 在 BEPC 的电子直线加速器上改建和新建起了具有多种用途的 3 条束流线, 并已提供应用. 其中次级高

能 e^{\pm}, π^{\pm} 单粒子试验束流线 (E3 线), 主要的性能指标达到设计要求, 并满足了 BES III 飞行时间探测器的束流试验要求.

2 E1, E2 和 E3 试验束流线

KEK 有些试验束线通过在储存环真空管道内设置内靶, 并利用边缘束打靶²⁾ 产生试验粒子束, 这样做的一个好处是可以很好解决次级粒子多重数问题, 也可获得较高的计数率. 基于我们加速器现有的条件, 考虑从电子直线加速器末端引出电子束流打靶的办法来建立试验束. 这种办法简单易行, 但是因为直线加速器束流重复频率低 (目前 12.5pps), 而且低能电子和光子的本底很大³⁾, 所以, 压低本底和提高计数率是试验束工程和技术面临的关键问题.

为了充分利用大厅空间, 开辟多条应用束流线, 所以, 在 BEPC 电子直线加速器末端对原电子束流

2004-04-05 收稿

* 国家 BEPC 改进专项经费

1) E-mail: lijc@ihep.ac.cn

2) K. Oide, H. Fukuma, S. Kamada et al. Gamma ray Source Using Internal Targets in the TRISTAN Accumulation Ring, KEK, National Laboratory for High Energy Physics, Oho, Tsukuba, Ibaraki, Japan 305; K. Ogawa, K. Hayashi et al. INTERNAL TARGET BEAM LINES FOR ELETRON/POSITRON IN TRISTAN ACCUMULATION RING, KEK Internal 85-2 May 1985

3) 张良生. 蒙特卡罗模拟, 档案分类 HA3983, 1419-1

线进行了改造,原电子束流线分叉成为 E1 和 E2 两条初级束流线,这样可扩展初级电子和正电子束流的应用空间.新增加的 E2 束流线平行于实验厅东墙. E2 电子束线末端设置次级粒子产生靶,靶往后为 E3 次级束流线,即高能 e^+ , π^+ 单粒子束流线.打

靶产生多种宽能谱的次级粒子,利用四极磁铁 LQ1, LQ2 收集从 15° ‘产生角’出射的带电粒子.偏转磁铁 D1, D2 与狭缝一起选择所需电荷(正电荷粒子或负电荷粒子)和所需动量的粒子,动量连续可调.具体的试验束流线布置如图 1.

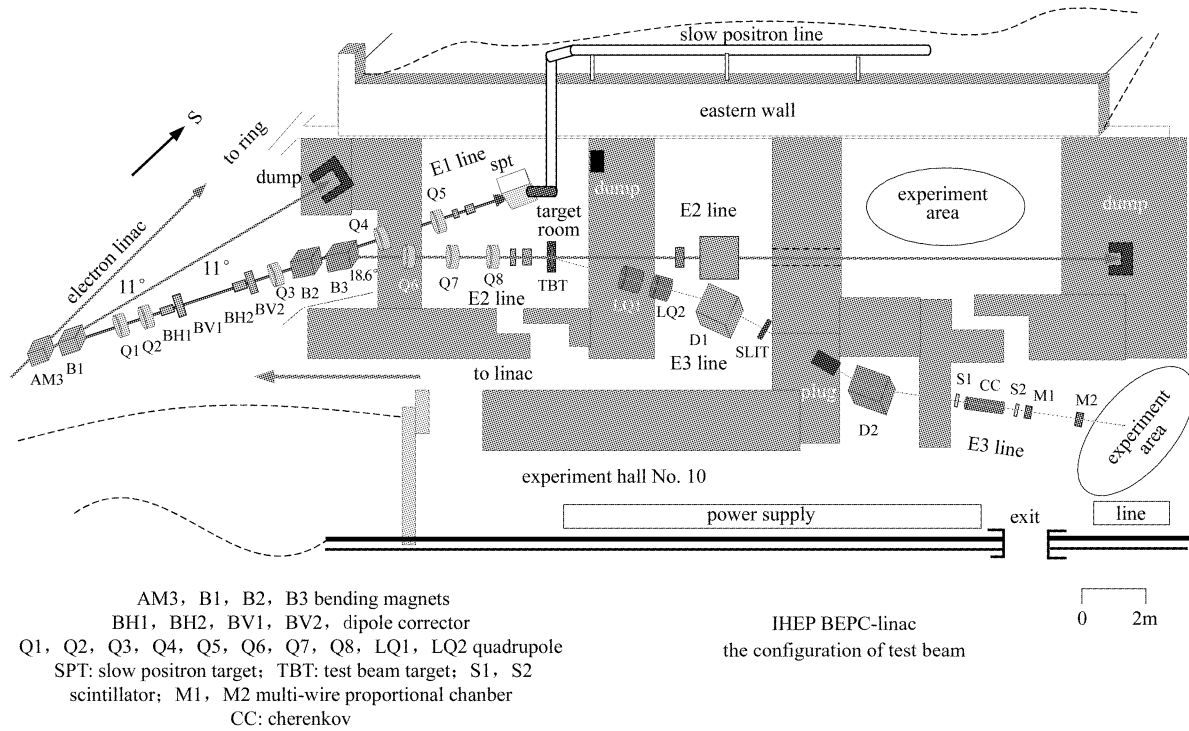


图 1 实验厅的屏蔽结构和束流线布置示意图

2.1 E1 电子束流线

原有的电子束流线^[3],是由 BEPC 直线加速器末端经 2 块二极磁铁偏转 22° ,沿相应的束流运输系统进入实验大厅.对这条束流运输线进行的改造,主要是 Q3 下游插入 2 块偏转磁铁 B2 和 B3.所以原有 Q3 和 Q4 分别向上下游移动,间距增加到 557cm,以便插入 B2 和 B3.同时 Q5 向下游移动 1.5m,便于延长打靶距离.这样电子束线由原来的 20.82m 长增加到 22.32m.这样的结构安排仍然是漂移传输,并保留了束流线末端透镜组的基本聚焦性能.该线的束流垃圾桶(DUMP, $(0.5 \times 0.5 \times 0.2)m^3$ 铁块)安装在离 E1 束流出口 3m 远的水泥墙中.目前这条 E1 电子束线已专用于核分析实验室的慢正电子装置.

根据束流线改造对束流运输线结构空间的要求,在保证束流的基本输运和聚焦性能情况下,确定

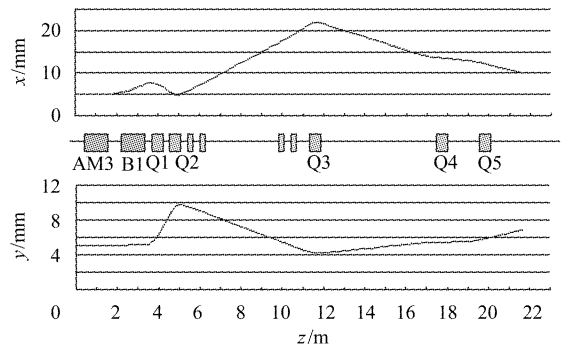


图 2 E1 初级束线结构和束流包络

了 E1 线的改造方案和磁铁的空间位置.按已限定的元件排布结构做束流运输元件参数和束流运输性能的计算¹⁾,计算结果表明,在 Q5 出口处的束流截面近似为 $(2.5 \times 0.6)cm^2$ 的长椭圆,作用靶(慢正电子产生靶)上入口束流截面近似 $(1 \times 1)cm^2$, 以及束

1) 胡春良. BEPC 电子直线加速器的分支线改进和 e/π 试验束的束流运输参数计算, 档案分类 HA3983, 1419-4

流能散为 0.8%, 满足了使用要求. 束流线结构和束流包络如图 2. 具体参数是: AM3: 7028.1Gs; B1: 7028.1Gs; Q1: 550; Q2: -400; Q3: 155.5; Q4: -240; Q5: 354.3 (参数对应能量 $E = 1.1\text{GeV}$, Q 铁场强单位 Gs/cm).

2.2 E2 束流线

E1 线上的 Q3 下游插入 2 块偏转磁铁 B2 和 B3, 在束流已偏转 22° 的基础上再偏转 18.6° , 使之与实验大厅的东墙平行, 成为 E2 束, 它距离实验厅东墙 3.5m, 可以方便地引出初级电子束或初级正电子束. 考虑应用对束流的要求, 在 B2 偏转磁铁下游增加了一个紧凑的 3 元透镜聚焦组^[4]. 新增加 3 块聚焦磁铁, 改善了束流的输运品质, 束流出口近似平行束. 束流线结构和束流包络如图 3. 具体磁铁设定值如下: AM3: 7028.1Gs; B1: 7028.1Gs; Q1: 550; Q2: -400; Q3: 155.5; B2: 5932.2Gs; B3: 5902.6Gs; Q6: 521.4; Q7: -429.6; Q8: 143.9 (参数对应能量 $E = 1.1\text{GeV}$, Q 铁场强单位 Gs/cm). 能散 0.8%. 在线束流输运参数调试, 出口束流截面达到 $(10 \times 10)\text{mm}^2$. 另外, 这条束流线上的偏转磁铁可以很方便地改变供电极性, 以满足电子或正电子选择的要求. E2 束流垃圾桶 $(0.8 \times 0.8 \times 0.9)\text{m}^3$ 铁块安装在 E2 束线末端 5m 厚的水泥构件中.

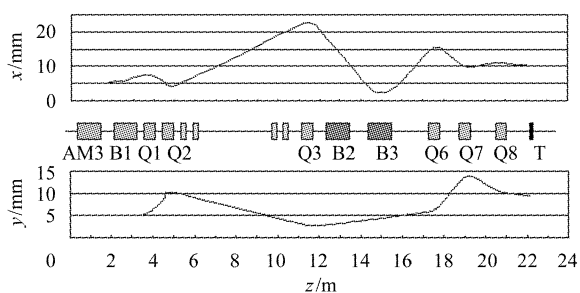


图 3 E2 束流线结构和束流包络

E2 束流线引出的一个应用是高能电子和正电子在介质中的辐射实验研究. 目前在 E2 线上完成了基础设备安装, 设备布置如图 4. 束线上的狭缝组合用于进一步选择平行电子束. 单个狭缝是 1mm 的方孔, 纵向深度 10cm, 2 个狭缝相距 1.6m, 刚性连接, 并安装在准直基座上. 专门检测部门的计量检测报告给出, 狭缝组合的线性度为 0.147mm. 三维定角仪用于调整辐射体角度, 角度分辨为 0.008° . 圆型极头磁铁用于带电粒子的清除, 最大工作磁场 1.7T.

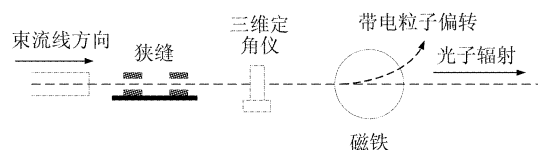


图 4 辐射实验研究基础装备示意图

2.3 E3 试验束流线

从 BEPC 电子直线加速器 (LINAC) 引出的初级电子束, 能量为 1.1—1.5GeV, 脉冲重复频率 12.5 Hz, 脉冲宽度 2.5ns, 最大峰值流强 600mA. 它经分叉后的 E2 束, 引入靶区打靶产生次级粒子 ($\gamma, e^\pm, \pi^\pm, \rho$, 以及 π^\pm 衰变产生的 μ^\pm 等), 因此, E3 是混合型粒子试验束. 电子引出采用钨碳复合靶或铜靶, 强子引出 (π^\pm 和质子 p) 采用碳靶或钨靶. 这些未经分离的混合粒子, 经过磁铁, 狭缝, 多种探测器组成的望远镜系统的选择, 获得了较低的本底水平; 利用‘在线数据获取’判选出被测到的粒子的种类, 再配合‘离线数据分析’分别得到 e^\pm, π^\pm 及 p 等单粒子束.

E3 试验束流线为 2Q2D 结构的磁谱仪系统^[5]. 该试验束流线长 22m, 其中前 10m 为真空盒. 主要由磁谱仪, 契伦科夫计数器, 闪烁计数器 SC1 和 SC2, 两个二维读出的多丝正比室组成. 次级束流截面尺寸和动量误差由狭缝决定, 目前的电子束流试验, 狭缝宽度是 3cm 时, 聚焦面上的束流宽度为 (FWHM) 5—6cm.

3 试验束流线上的主要装置和性能

3.1 磁铁

带电粒子通过磁场, 受劳伦兹力而偏转, 所以可根据设备安装空间, 设计束流输运线的偏转角. 依据场强与偏转角等可知动量大小. 所以磁铁既是束流线上必不可少的设备, 也是测量带电粒子动量的有效工具. 试验束上使用的磁铁总共 19 块. 其中新加工的四极磁铁 1 块, 借用 BEPC 工程备用的 50TQ 磁铁 2 块. 另外, 对 DESY (Deutsches Elektronen-Synchrotron) 早年借用的 5 块大功率磁铁进行了检修, 内容包括水路, 接线端子, 线包耐压实验, 极头定位等. 在检修过程中, 还更换了磁铁的过温测量探头, 以及磁铁过温保护连锁. 试验束上增加的不同类型磁铁参数如表 1.

表 1 磁铁的参数

磁铁类型	最大磁场/Gs	磁铁有效长度/cm	备注
Q6 (50TQN)	963(Gs/cm)	50.4	BEPC
Q7 (50TQA)	882(Gs/cm)	50.3	BEPC
Q8 (50TQ43)	907(Gs/cm)	50.4	北重厂
B2 (MC03)	14660	100.97	DESY
B3 (MC01)	14600	100.425	DESY
LQ1 (QD1—2)	1750(Gs/cm)	53.505	DESY
LQ2 (QD1—9)	1750(Gs/cm)	53.855	DESY
D1 (BM03)	11000	107.2	检修
D2 (MC02)	12000	106.42	DESY

3.2 屏蔽结构

E1 初级电子束流线末端(靶室内)安装慢正电子产生靶(金属钽: $\phi 30\text{mm} \times 15\text{mm}$).束流出口到靶心 110mm,打靶后的剩余束流在 2.5m 远的 DUMP(束流吸收装置)中吸收.根据次级慢正电子引出的结构要求,靶室 1.5m 厚的顶棚预留 $\phi 300\text{mm}$ 的垂直引出孔.为了有效屏蔽打靶后的辐射,利用蒙特卡罗模拟计算方法进行了辐射本底估计.

为压低 E3 单粒子束本底,我们建立了多道水泥屏蔽墙,并事先通过蒙特卡罗模拟,对各种屏蔽结构的效果进行比较,以选择较好的屏蔽结构,屏蔽结构平面图如图 1.产生靶与实验区之间由 2—3m 厚的水泥墙隔开,蒙特卡罗模拟表明,初级电子束(10^9 电子/脉冲)入射到 11cm 厚的碳靶上,实验区本底计数为每脉冲 $0.11/\text{cm}^2$,屏蔽结构满足要求.实时剂量测量表明,当电子束停留在束流垃圾桶(DUMP)中,实验区剂量率接近于天然本底,为 $0.14\text{—}0.21\mu\text{Sv/h}$.从实验大厅(BEPC 10 号厅)进入直线加速器隧道的防护铁门附近,其剂量率是实验区的 40 倍左右.剂量率的测量值如表 2(加速器中心防护组提供).

表 2 实验区实时剂量测量值

测量区域	最大瞬时剂量率/ $(\mu\text{Sv/h})$
试验区域	0.21
第 3 靶室南墙外区域	0.15
D2 铁区域	0.14
D2 铁前束线进出口	0.15
第 1 靶室外长走廊中部	0.20
第 1 靶室外入口墙角	3.20
第 1 靶室外距铁防护门 4m	0.90
第 1 靶室外距铁防护门 1m	6.30
第 1 靶室外贴近铁防护门	13.30
(进入直线加速器隧道入口)	

出自试验束运行的辐射安全考虑,进入靶室的门已改造成为安全联锁平开自动门,当 AM3 磁铁加电时(这意味着束流已有可能进入 10 号厅)安全联锁门有效锁闭.联锁信号起点来自直线加速器 AM3 磁铁电源柜,终点到试验束的实验大厅控制室.E2 束流线上的 B2,B3 磁铁电源与第 3 靶室的水泥门联锁.

3.3 磁铁供电电源及控制

总共 18 套大小功率电源,最大运行总功率为 293kW.大功率电源采用 12 相可控硅整流,数字触发电路和双环控制方案.E1 和 E2 线上的聚焦磁铁和校正磁铁用了较小功率的电源,采用脉宽调制型开关电源.通过大功率磁铁的供电极性切换来实现正负粒子运行方式的切换,这种切换采用了我们早年研究设计的无触点大功率电子换向开关.这种开关简化了功率主回路的设计,降低了造价.实际运行证明开关切换安全可靠.电源的长期稳定性都达到或好于 2×10^{-4} .束流线运行时,上述控制操作都在控制室的控制台上进行.控制结构是基于现场总线(RS-422/485)方式的电源控制系统¹⁾.该系统控制磁铁电源开关和调节电流大小,改变束斑大小及位置.产生靶的自动更换,束流强度监测,真空系统的监测,摄像监视,及相应的配套设备等均集中在控制台上.

3.4 计数器和电子学

计数器和电子学仪器提供试验束的位置信息,粒子种类和飞行径迹等数据.在试验束上安排了塑料闪烁计数器 3 套,气体契仑可夫计数器 1 套,多丝正比室及其前端电子学 3 套,以及相应的电子学仪器,如模拟数字转换器 ADC、高压电源、快甄别器、恒比定时甄别器、逻辑单元以及延迟线等.

试验束上的探测器在线数据获取由 PC 机控制,在 LINUX 操作系统下采集数据.它包括 E2 束流线上通过束流传感器(BCT)的脉冲电荷积分数据采集系统,以及 E3 试验束上来自各种计数器的数据获取.数据获取在线机可通过局域网由束流线运行控制台操作取数,以及图形显示和实时监控,实现了单一地点的控制台操作.

3.5 真空系统与支架

包括离子泵、分子泵机组、气动平板阀、真空闸

1) 孔祥成. 总线驱动技术参考,拟档案分类 HA3983,1419-4

板阀、真空计、电阻规、电离规等. E1 和 E2 束流线真空度保持在 1.3×10^{-5} Pa, E3 试验束线真空度 1×10^{-5} Pa. 总真空管道长 43m. 磁铁和真空管道支架共 40 余台件, 其中油压支架 3 台.

4 E3 试验束的性能

4.1 在线系统简介

E3 试验束的在线系统^[6], 由 PC 机管理控制, 在 LINUX 系统平台上采集数据. 数据包括粒子飞行时间和 2 个正比多丝室的 x, y 平面上的感应电荷. 粒子的选择是通过闪烁计数器 SC1 和 SC2 与契仑科夫计数器, 以及两个多丝正比室 MWPC1 和 MWPC2 构成的五重符合实现的.

闪烁计数器 SC1 和 SC2 用于粒子飞行时间测量和在线束流粗定位. 它的时间分辨为 200ps 左右, 每个计数器的效率 ≥ 0.91 ; 气体阈式电子契仑科夫计数器^[7]用于选择电子或强子, 其对电子探测效率为 $(99.0 \pm 0.5)\%$, 配合飞行时间谱将 π, p 分开; 多丝正比室^[8,9] MWPC1 和 MWPC2, 阴极感应条读出, 它们用于单粒子选择和粒子运动方位的确定, 整个在线控制系统对粒子的探测效率为 62%.

数据离线分析主要是多丝室的数据. 根据感应条电荷分布以及粒子击中位置等来确定单粒子事件, 根据感应电荷重心法计算得到的空间位置, 重建粒子的飞行径迹. 常规的分析结果包括: 粒子击中点位置分布(x, y), 方向角, 入射粒子的能损分布等.

E3 试验束主要性能参数:

粒子种类: e^+, π^+, p ;

动量范围: 电子: 200MeV/c—1.1GeV/c (可以提高至 1.3GeV/c),

介子: 400MeV/c—900MeV/c,

质子: 500MeV/c—1GeV/c;

动量误差: $\Delta p/p \leq 1\%$;

粒子定位误差: 0.2—0.4mm;

计数率: 3—4Hz(混合粒子).

4.2 单粒子判选和位置分辨

4.2.1 次级粒子多重数

从电子直线加速器引出的 1.3GeV/c 电子束, 脉冲重复频率 12.5Hz(每脉冲 10^9 个电子), 这样的电子束流作用到厚靶上 ($> 0.1X_0$), 其中韧致辐射的最大光子能量接近入射电子的能量^[10]. 主要相互作用:

用:

电生和光生强子^[11,12]: $e + p \rightarrow \pi^+ + n + e, e + n = \pi^- + p + e, e + p = \pi^0 + p + e, \gamma + n \rightarrow \pi^- + p, \gamma + p \rightarrow \pi^0 + p, \gamma + p \rightarrow \pi^+ + n$;

其中共振态衰变: $\gamma N \rightarrow \begin{pmatrix} \Delta(1232) \\ N(1440) \\ N(1520) \end{pmatrix} \rightarrow N\pi, N\pi\pi$;

π 介子衰变: $\pi^+ \rightarrow \mu^+ \nu_\mu, \pi^0 \rightarrow \gamma\gamma, \pi^- \rightarrow \mu^- \nu_\mu^-$ 以及电磁簇射等.

所以 E3 束原本是多粒子混合束, 这里包含的粒子成分如 $\gamma, e^\pm, p, \pi^\pm, \mu^\pm$ 等. 混合粒子飞行时间谱直方图如图 5. 不同粒子的计数比例如表 3(最远的探测器离开靶 20m 远).

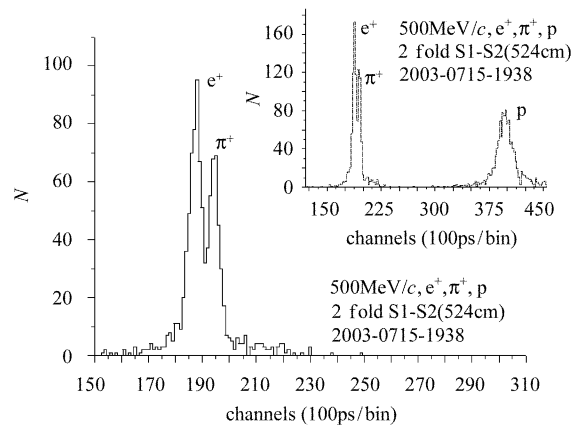


图 5 500MeV/c 混合粒子 TOF 谱

表 3 E3 束粒子种类及成分比(在离开靶 20m 远处测量得到)

动量/(MeV/c)	C 靶	W + C 复合靶
	$e^+ : \pi^+ : p$	$e^- : \pi^-$
400	1 : 0.3 : - -	
500	1 : 0.6 : 1.4	1 : 0.1
600	1 : 1.5 : 6.9	

当利用试验束测量探测器对粒子的响应特性时(通常是单个粒子), 如果一个脉冲中有两个或两个以上的粒子, 探测器在时间上无法区分, 形成脉冲重叠, 而误认为是一个粒子. 这样就出现了窄脉冲引出的多粒子问题. 这也是前面所说的次级粒子产生上的多重数带来的多粒子问题. 另一方面, 实验总是希望有较高的计数率. 要使实验的计数率不致过低, 又要获得 e, π 等单粒子束, 在窄脉冲多粒子的现实情况下, 除希望尽可能多的单粒子脉冲外, 还由于粒子散射和空间本底的影响, 应用多重符合技术和离线

分析的单事例重建是必不可少的方法之一。

4.2.2 粒子种类判选和事例率

电子束打靶的次级粒子引出,实际是混合粒子束,实验上要实现粒子种类的选择,必须经过在线判选和离线分析,试验束上的在线数据获取电子学框图如图 6. 首先由磁谱仪系统选择正粒子或是负粒子(选 e^+ , π^+ , p , 或选 e^- , π^-). 第二步由探测器组合‘在线’判选. 由于阈式契仑科夫计数器只对电子灵敏,与闪烁计数器符合,记录的就只是电子,而反符合就记录了 π 与 p 两种粒子. 第三步,因为质子很重,它比同样动量的 π 慢得多,可依据飞行时间的差别把质子与 π 区分出来,即在离线分析中利用飞行时间 CUT 条件,这样原则上就区分开了所有粒子. 粒子种类选择表(探测器符合触发表)如表 4. 第四步,进一步利用多丝正比室(MWPC)的空间分辨与能量分辨本领. 因为两个或两个以上的粒子虽然在同一个脉冲中,它们的位置一般是不同的,可以依据在多丝室中不同的击中点来判断. 而且两个或两个以上的粒子进入多丝正比室,其能量损失(dE/dX)

比一个粒子大,依据能量损失来分辨单粒子或多粒子. 这部分在相关文章中将有详细描述.

表 4 粒子种类选择(探测器符合触发表)

粒子种类	探测器符合关系
(+/-)e	S1·S2·M1·M2·Č
(+/-) π (TOF-cut)	S1·S2·M1·M2·Č·Veto
e, π , p, ...	S1·S2·M1·M2
p(TOF-cut)	S1·S2·M1·M2·Č·Veto

在碳靶产生的混合粒子束中,应用两个(3×3) cm^2 截面的闪烁计数器定位,3 重符合(契仑科夫参与符合选择电子),在聚焦面上最大电子计数率 2Hz ($0.8\text{GeV}/c$). 在线判选的单粒子选择效率(60%—70%)接近物理估计值. 5×5 截面的闪烁计数器定位,最大电子计数率 4—5Hz($0.8\text{GeV}/c$),表 5 列出了铍产生靶 19.5m 远处(闪烁计数器定位,3 重符合,契仑科夫参与符合选择电子,反符合选择强子,束流截面 20cm^2 .) 不同粒子的事例率(没有排除双粒子和多粒子).

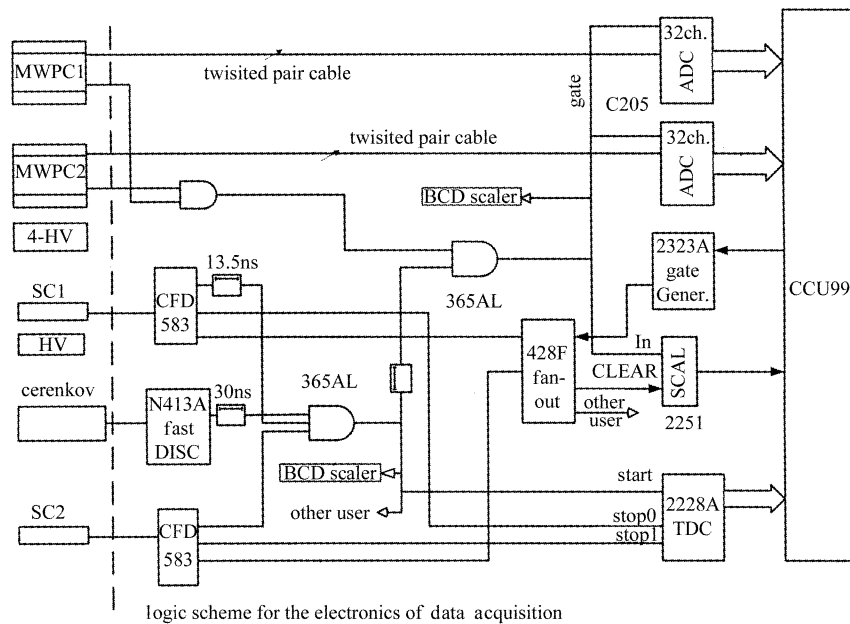


图 6 在线数据获取电子学框图

表 5 不同动量下的几种粒子的事例率/铍靶(单位:计数/s)

粒子种类	400MeV/c	600MeV/c	800MeV/c	1GeV/c
e^-	3.5	3.9	2.1	3.7
π^+	0.36	0.8	1.2	0.48
p	0.59	2.4	3.6	2.8

表 5 所列计数率直接依赖于直线加速器束流的频率,目前加速器束流频率是 12.5Hz. 由于直线加速器电子束必须经过 4 块偏转磁铁(共偏转 40.6°)才能送到打靶区,所以次级粒子的事例率也依赖打靶束流的稳定性(能量,流强). BEPCII 改造完成后,直线加速器将提供稳定地每秒 100 个脉冲的电子束,所以试验束的计数率将在目前的基础上大幅度提高.

4.2.3 束流中粒子位置的定位精度

利用 3 个多丝室并通过束流在线测量, 计算得到多丝室的位置分辨. 测量方法是在 2 个常备丝室之间插入第 3 个备用丝室(空间距离 80cm), 由电荷重心法求出每个室每次击中点位置坐标. 取每一个事例在每个丝室上击中点位置做线性拟合, 再分别求出击中位置坐标相对该直线的残差. 例如 MWPC1 的击中点的位置残差分布如图 7. 由于第 3 个多丝室前端电子学到差分 ADC(临时利用的差分 C205) 输入之间的信号转换电子学的干扰, 引入了较大的定位误差. 由于多丝室固有的位置分辨误差为 $50\mu\text{m}$ ^[8], 所以在原始数据的统计中取 $50\mu\text{m}$ 的 BIN 宽, 根据统计数据计算粒子定位的标准误差. 运行在 $1.1\text{GeV}/c$ 电子束引出模式下, 2 个多丝室在线定位的最大标准误差 $\sigma = 387\mu\text{m}$.

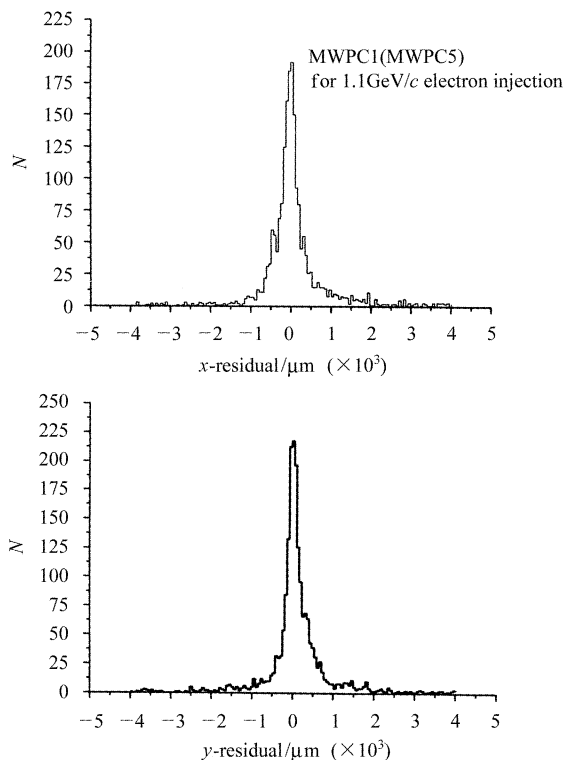


图 7 MWPC1 y 和 x 方向残差分布

4.2.4 中心动量附近的事例选择

在探测器的束流测试中, 一般要知道粒子的入射角, 在离线数据分析中根据要求选取满足入射角要求的事例. 另一方面, 由于粒子在空气和计数器上的散射, 造成某一确定动量的粒子位置不确定, 或确定位置上的粒子动量分散. 例如, D2 磁铁出口粒子沿切线方向飞出, 而没有被空气和计数器物质散射,

在有限区间内, 将是平行束. 或者因为散射粒子方向改变, 方向角增大并且角分布变宽. 根据多丝室 MWPC1 和 MWPC2 位置信息重建得出的粒子方向角分布如图 8(纵坐标为计数, 横坐标为 Tangent 值). 在离线分析中选取束流截面上一定宽度的束流, 这样也就确定了动量误差. 选取一定方向角以内的粒子, 从而降低 D2 下游因散射引起的粒子位置和动量的不确定.

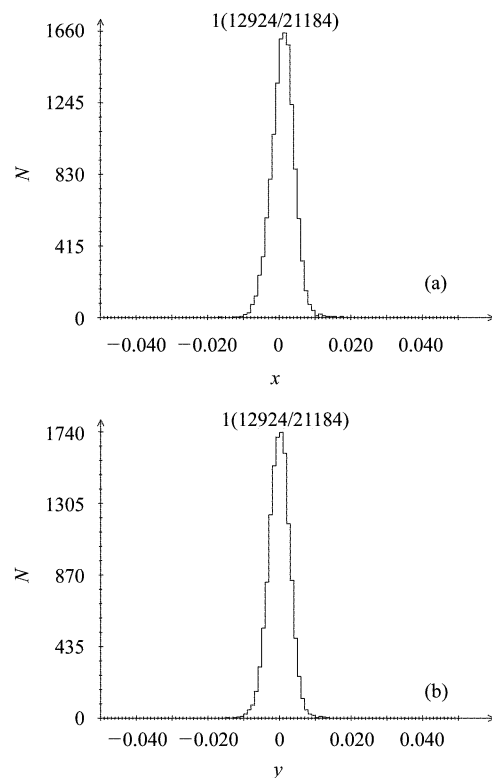


图 8 粒子方向角分布(030610 数据)
(a) 水平方向角分布; (b) 垂直方向角分布.

4.2.5 本底

试验束运行时, 利用 $(5 \times 6)\text{cm}^2$ 闪烁计数器, 在束流线末端的束流中心平面上, 测量不同水平位置上的本底计数(独立计数), 闪烁计数器的阈值为 100mV , 本底计数 $N_{\text{pB}} = N_{\text{all}} - N_{\text{B}}$ (N_{all} : 总计数; N_{B} : 无束流本底计数). 测量说明离开中心束流线, 在 $7\text{--}22\text{cm}$ 范围内的本底计数率 $0.02\text{--}0.05$ 个每秒, 是 3 重符合计数的 $1\%\text{--}2\%$. 这些本底包括光子和各种低能带电粒子.

5 应用

E1 束流线已稳定提供给核分析实验室应用. 束

流的出口位置和截面可根据应用要求调节. 初级电子束作用到钨靶上, 产生慢正电子强束流并从靶站垂直引出. 核分析实验室目前已完成了脉冲慢正电子性质的检测工作, 束流系统验收指标的测定工作. 当加速器电子束流较强时, 脉冲慢正电子束流强度实际最高可以达到 $8 \times 10^5/s$, 直流化后的正电子数量达到 $8.5 \times 10^4/s$. 在目前的束流状态下, 核分析实验室与合作单位完成了 7 组样品的测量工作, 系统持续正常运行.

在 E3 试验束上, 利用 $800\text{MeV}/c$ 的电子, 已完成了 BES III 上桶部 TOF 探测器和端盖 TOF 探测器主要性能测量. 如闪烁体的衰减长度测量, 不同包装材料的比较, 不同规格的闪烁体的时间分辨差异等. 目前已获得时间分辨测量的初步结果 (闪烁体为 BC408, $5\text{cm} \times 5\text{cm} \times 240\text{cm}$, 包装材料为纯铝箔), 时间分辨率最差点已经可以达到 80ps, 可满足 BES III 设计要求.

利用 E2 束流打靶产生的混合粒子辐射场, 进行农作物性状突变研究. 该项工作是与中科院合作的国家自然科学基金项目, 今年是该项目研究的第一年. 目前已完成第一轮小麦品种的辐照试验.

6 结论

在 BEPC 直线加速器上建起的这条 e, π 试验束

线是我国目前惟一的高能混合粒子束流线, 它不仅本底小, 而且动量分辨达到了较高的精度. 在直线加速器稳定运行状态下, 单电子选择率达到 1.2Hz 左右 ($800\text{MeV}/c$). 该试验束的建造不仅为 BES III 探测器模型刻度提供了试验束流. 也为国内或国外其他单位的探测器研究提供了良好的束流条件. 基于 BEPC 所占的独特能区, 高能所的这条试验束与国外的试验束流线也有很好的互补性, 所以也将在国际合作中发挥作用.

除了 E1, E3 束已经提供应用外, E2 束流线是另一条提供 1.1—1.5GeV 正负电子的束流线. 该束流线在设计 and 建造上保留了 15m 长和 3m 宽的自由实验空间, 可安排不同类型的束流元件和打靶探测设备. 根据实际需要, 实验空间也留有一定的扩展余地. 另外, BEPC II 电子直线加速器改造后, 脉冲重复频率提高, 对试验束提高计数率是非常有利的, 可进一步扩展探测器束流试验范围.

工程建设和系统调试得到了各级领导和同志的大力支持, 作者感谢高能物理研究所李卫国副所长、吕军光研究员、李金研究员、王贻芳研究员和实验物理中心同仁的大力帮助, 感谢徐刚、孔祥成、程健、石才土、宋洪和运行室的同志给予全力的协助.

参考文献 (References)

- 1 MA Ji-Mao, MAO Ze-Pu, MAO Hui-Shun et al. HEP & NP, 1987, **11**(4): 441—450 (in Chinese)
(马基茂, 毛泽普, 毛慧顺等. 高能物理与核物理, 1987, **11**(4): 441—450)
- 2 LÜ Jun-Guang et al. HEP & NP, 1999, **23**(6): 505—511 (in Chinese)
(吕军光等. 高能物理与核物理, 1999, **23**(6): 505—511)
- 3 LIU Nian-Zong, ZHANG Cai-Di, ZHENG Lin-Sheng et al. HEP & NP, 1992, **16**(11): 995—977 (in Chinese)
(刘念宗, 张彩娣, 郑林生等. 高能物理与核物理, 1992, **16**(11): 995—977)
- 4 BANFORD A P. The Transport of Charged Particle Beams, 1984, 120—128 (in Chinese)
([英] A. P. 班福德著. 刘经之等译, 带电粒子束的输运, 1984, 北京: 原子能出版社, 120—128)
- 5 LI Jia-Cai, ZHANG Liang-Sheng et al. HEP & NP, 2005, **29**(1) (in Chinese)
(李家才, 张良生等. 高能物理与核物理, 2005, **29**(1))
- 6 LIU Zheng-Quan, CUI Xiang-Zong, LI Jia-Cai. NE & DT, will be published in 2004 (in Chinese)
(刘正全, 崔象宗, 李家才. 核电子学与探测技术, 2004, 待发表)
- 7 CUI Xiang-Zong, LI Jia-Cai, ZHAO Xiao-Jian et al. HEP & NP, 2004, **28**(8): 870 (in Chinese)
(崔象宗, 李家才, 赵小健等. 高能物理与核物理, 2004, **28**(8): 870)
- 8 SHEN Ji, CHEN Zi-Yu YE Zhen-Yu et al. Journal of University of Science and Technology of China, 2004, **34**: (in Chinese)
(沈激, 陈子瑜, 叶震宇等. 中国科学技术大学学报, 2004, **34**:)
- 9 SHEN Ji, CHEN Zi-Yu, YE Zhen-Yu et al. NE & DT, 2004, **24**(6) (in Chinese)
(沈激, 陈子瑜, 叶震宇等. 核电子学与探测技术, 2004, **24**(6))
- 10 Tsai Y S, Van Whitis. Physical Review, 1968, **149**: 1248—1257
- 11 Amaldi E, Fubini S, Furlan G. Pion-Electroproduction. New York: Springer-Verlag, 1979. 1—8
- 12 FUJII T, KONDO T, TAKASAKI F et al. Nuclear Physics, 1977, **B120**: 395—422

A Test Beam Upgrade Based on the BEPC-LINAC^{*}

LI Jia-Cai^{1;1)} WU Yuan-Ming¹ CUI Xiang-Zong¹ ZHANG Liang-Sheng¹ ZHOU Bao-Qing¹
LIU Zheng-Quan¹ ZHANG Shao-Ping¹ LIU Shi-Xing² SUN Chang-Chun¹ SHEN Ji² YIN Ze-Jie²
ZHANG Yong-Ming² CHEN Zi-Yu² ZHANG Zhu-Xiang¹ ZHANG Cai-Di¹ ZHENG Lin-Sheng¹

¹ (Institute of High Energy Physics, CAS, Beijing 100049, China)

² (Department of Modern Physics, University of Science and Technology of China, Hefei 230027, China)

Abstract A total of three beam lines, E1, E2 and E3 have based on the LINAC of BEPC. The E1 beam is to be used for intense slow-positron facility. The E2 is a primary positron or electron beam with an energy of 1.3—1.5GeV. The E3 is a secondary electron or pion test beam with a momentum can be adjustable continuously. The position accuracy of a detected particle is 0.2—0.4mm with an event rate of 3—4Hz. This beam has been successfully used for some detectors beam test.

Key words test beam, calibration, single particle

Received 5 April 2004

^{*} Supported by National Special funds for BEPC Improving

1) E-mail: lijc@ihep.ac.cn